

Journal of the Faculty of Arts (JFA)

Volume 78 | Issue 3

Article 8

7-1-2018

Analysis Hypsometric Curves for Watersheds in Jordan using GIS and Remote Sensing

Hassan Sababaha Sababaha

Geography Department, Yarmouk University Irbid, Jordan

Follow this and additional works at: <https://jfa.cu.edu.eg/journal>

 Part of the Geography Commons

Recommended Citation

Sababaha, Hassan Sababaha (2018) "Analysis Hypsometric Curves for Watersheds in Jordan using GIS and Remote Sensing," *Journal of the Faculty of Arts (JFA)*: Vol. 78: Iss. 3, Article 8.

DOI: 10.21608/jarts.2018.83451

Available at: <https://jfa.cu.edu.eg/journal/vol78/iss3/8>

This Book Review is brought to you for free and open access by Journal of the Faculty of Arts (JFA). It has been accepted for inclusion in Journal of the Faculty of Arts (JFA) by an authorized editor of Journal of the Faculty of Arts (JFA).

تحليل المعامل الهيسومترى للأحواض المائية في الأردن باستخدام تقنيتي نظم المعلومات الجغرافية والاستشعار عن بعد (*)

نوح "محمد علي" حسن الصبابة
قسم الجغرافيا، جامعة اليرموك
إربد، الأردن

الملخص

تهدف الدراسة إلى تقييم وتحليل المعاملات الهيسومترية للأحواض المائية الرئيسية في الأردن من خلال تحليل العلاقة ما بين المساحة والارتفاع للكشف عن مراحل التطور الجيومورفولوجي (الشباب، النضج والشيخوخة) لهذه الأحواض باستخدام تقنيات الاستشعار عن بعد (RS) ونظم المعلومات الجغرافية (GIS). وباستخدام القرائن والمعادلات الرياضية الخاصة بحساب المعامل الهيسومترى لتحديد قيمة المعامل الهيسومترى لكل حوض.

وتوصلت الدراسة إلى أن قيمة المعامل الهيسومترى للأحواض المائية في الأردن تراوحت ما بين (%) ١٩ في حوض وادي لحجني الواقع ضمن حوض وادي عربة الجنوبي ، و (%) ٨٠ في حوض وادي زرقاء ماعين الواقع ضمن حوض البحر الميت. كما أظهرت نتائج تحليل الانحدار للمعاملات الهيسومترية وكل من المساحة الحوضية ومتوسط الارتفاع، عدم وجود علاقة ما بين المساحة الحوضية والمعامل الهيسومترى حيث بلغت (r^2) .. ٤٥ .. وجود علاقة ضعيفة ما بين متوسط الارتفاع والمعامل الهيسومترى حيث بلغت (r^2) .. ٢٩ .. وبالتالي فإن المعامل الهيسومترى لهذه الأحواض

(*) مجلة كلية الآداب جامعة القاهرة المجلد (٧٨) العدد (٥) يوليه ٢٠١٨ .

يرتبط إلى حد كبير بظروف نشأة هذه الأحواض أو بطبيعة البناء التكتوني لها، فمعظم أودية الحافة الصدعية في الأردن والتي تمتد من جنوب البحر الميت إلى الباقة شمالي تزيد معاملاتها الهيسومترية عن (٥٥ .٠) وذات منحنيات هيسومترية محدبة، أما الأحواض المائية في المناطق الجافة فهي ذات أشكال مقررة بالرغم من ارتفاع قيمة المعامل الهيسومترى لها.

وبالتالي توصي الدراسة بالأخذ بنتائج تحليل المعاملات الهيسومترية للأحواض المائية في التخطيط لاستعمالات الأراضي وإدارة الموارد الطبيعية، والحد من الأخطار البيئية على المنحدرات؛ كالانهيارات الأرضية وانجراف التربة وغيرها.

كلمات مفتاحية: الأحواض المائية، المعامل الهيسومترى،نظم المعلومات الجغرافية، الاستشعار عن بعد، الارتفاع النسبي.

Abstract

Analysis Hypsometric Curves for Watersheds in Jordan using GIS and Remote Sensing

This study aimed to evaluate hypsometric Curves of major basins in Jordan through identifying the relation between the area and altitude. Also, it aimed to explain the geomorphological development stages including youth, maturity, and senescence of the basins using remote sensing and GIS techniques and other functions related to calculation of hypsometric Curves for each basin. Results showed that the hypsometric factor of Jordanian basins was in the range of 0. 19 for Lahjani basin in the southern part of Wadi Araba and 0. 80 in Zarqa'a Mae'en basin in the Dead Sea area. The regression analysis between hypsometric integral and basin area and average altitude showed negligible relation (i. e. , $r^2 = 0.045$), and weak relation ($r^2 = 0.29$), respectively. Thereby, the hypsometric integral of these basins are largely associated with tectonic structure or creation conditions of the basins. This is because most of Jordan valley basins which are located between Dead Sea (south) and Albaqora (north) had a hypsometric integral greater than 0. 55 and had convex hypsometric curves. While, basins in arid regions had concave shapes though they had high hypsometric values. It is necessary to per in mind the hypsometric

analysis for land use planning and land management in the study area, and to mitigate natural hazards such as landslides and soil erosion in these basins.

Keywords: Basins, Hypsometric Integral, GIS, Remote Sensing, Relative Elevation.

مقدمة:

يعتبر التحليل المورفومترى للأحواض المائية من المعايير المهمة للدلالة على القياسات والخصائص الهندسية لسطح الأرض والتي تساهمن في تشكيلها. ويمكن اعتبار المعامل الهيسومترى أحد القياسات المورفومترية المهمة والتي تعتبر مقياساً زمنياً يعبر عن المرحلة الجيولوجية التي تمر بها الأحواض المائية، كذلك يعد معياراً يمكن من خلاله الاستدلال على كمية المواد الصخرية التي ما تزال تنتظر دورها في العملية الحتية (Kuang, et al., 2012; Babu, et al., 2015, Devi, et al., 2015)، إذ يعبر المعامل الهيسومترى عن العلاقة ما بين الارتفاع النسبي الذي يمثل النسبة بين ارتفاع أي خط كنتور في الحوض إلى أقصى ارتفاع في الحوض، والمساحة النسبية التي تمثل المساحة المحصورة بين أي خط كنتور ومحيط الحوض إلى المساحة الكلية لنفس الحوض والتي تتأثر بالتركيب الجيولوجي ونوع الصخر والعوامل المناخية، (Perez-Pena, et al. 2009)، حيث يشير الاختلاف في شكل المنحني الهيسومترى وقيمة المعامل الهيسومترى إلى عدم التوازن في التعرية والقوى التكتونية للحوض المائي (Smgh and Sarangi, 2008). ويمكن من خلالها التمييز بين المناطق ذات النشاط التكتوني أو المناطق الأقل نشاطاً (Keller and Pinter, 2002).

وبالتالي هناك أهمية تحليل المنحنى الهيسومترى في تحديد النشاط التكتونى والظروف المناخية، والصخور السائدة في المنطقة. إذ قام (Siddiqui and Soldati, 2014) بتقييم التكتونيات النشطة باستخدام (DEM) وبالاعتماد على المعامل الهيسومترى في (Emilia-Romagna Apennines) شمال إيطاليا حيث توصلت الدراسة إلى ارتفاع قيم المعامل الهيسومترى ووجود ارتباط إيجابي بزيادة النشاط التكتونى شمال إيطاليا.

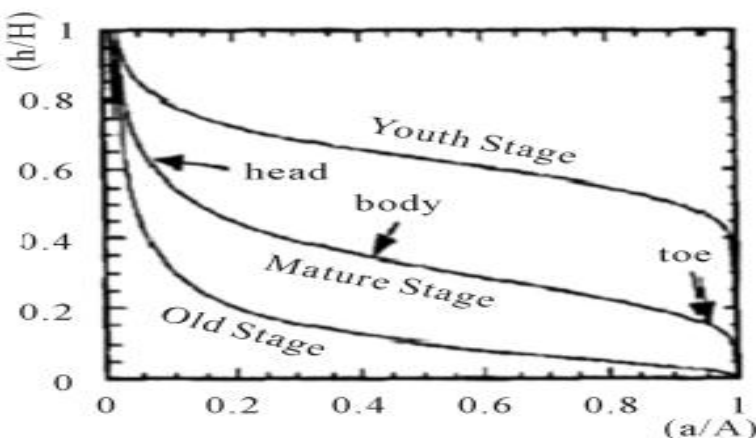
كما يمكننا من خلال تحليل المعامل وشكل المنحنى الهيسومترى للأحواض المائية من تقييم الخصائص الهيدرولوجية والأخطار البيئية المختلفة كانجراف التربة، والانزلاقات الأرضية وخطر الفيضان وغيرها، ويعبر التحليل للمعامل الهيسومترى عن مدى التغيرات الجيومورفولوجية، لذا لا بد من فهم عمليات التعرية للأحواض المائية وتحديد الأولويات لاتخاذ التدابير الملائمة لحفظ التربة والمياه. حيث قام (Enrique, et al., 2008) بتحليل العلاقة ما بين المعامل الهيسومترى والجريان السطحي وتحت السطحي في حوض (Peachester, Creek Oklahoma) حيث تبين أن الأحواض المحدبة بالرغم من ارتفاع معدل التصريف المائي لها إلا أن معدل الحت والتعرية للصخور فيها أقل من الأحواض المقعرة التي ينخفض فيها معدل الجريان السطحي وهذا يفسره ارتفاع معدل الاستجابة السطحية للمواد المكونة للأحواض المقعرة بالمقارنة بالأحواض المحدبة. كما أن تحليل المنحنيات الهيسومترية باستخدام تقنيات نظم المعلومات الجغرافية ذات فاعلية في تحديد مدى استجابة الأحواض المائية لحدوث الفيضانات، & Kokate ,2015; Zwoliński & Sznigir, 2015; Kanarek, 2012; Demoulin, (Geometric 2010). واستخدم (Sivakumar, 2011) تقنية الجيومتريك (Dharmapuri Technology) لتحليل المعامل الهيسومترى لحوض نهر

Districts Tamilnadu) في الهند ووجد أن التحليل الهيسومترى للأحواض المائية واستخدام تقنيات الاستشعار عن بعد ذات أهمية كبيرة في تحديد احتمالية الحصاد المائي وإدارة الحوض النهرى من خلال تحديد الواقع الملائمة للتعرية، والجريان السطحي والزيادة المحتملة للمياه الجوفية والمراحل المختلفة للعمليات الأرضية. أما (Zwoliński&Sznigir,2015) فقد درس التوزيع المكاني للمنحدرات الهيسومترية ضمن حوض التصريف المائي لنهر (Parseeta) في بولندا كمؤشر جغرافي للأخطار الجيومورفولوجية حيث توصل إلى أن الأودية التي تقع في الجزء المركزي من الحوض المائي تبدو بشكل أحواض مقرعة ، أما الأودية الواقعة على أطراف الحوض المائي فتبدو بشكل محظيات وهي أكثر عرضة للتغير الأرضي من كبر نشاط عمليات التعرية وذلك بالاستناد إلى نتائج تحليل المعامل الهيسومترى.

بناء على ما تقدم تعتبر الأحواض النهرية نظمًا مورفولوجية تحكمها وتضبط خواصها الهندسية قوانين ذات علاقات وظيفية متبادلة، إذ لا يمكن التعرف على تلك العلاقات إلا بعد دراسة وتحليل الخصائص المورفومترية كالمنحدري الهيسومترى والذي يقدم طريقة جيدة ومفيدة لدراسة التوزيع المكاني للانحدار وربطة بنتائج تحليل المنحدري الهيسومترى لدراسة الأحواض المائية، وهذا يرتبط بوجود الم-curves والمحظيات التي تتباين قيم المتغيرات المورفومترية فوقها، كما أن الخرائط المكانية يمكن أن تحدد التوزيع المكاني لأنواع التربة والخصائص الجيولوجية وبالتكامل مع التحليل الهيسومترى، (Cohen,et al.,2009). فقد قام (Farhan,2016) بتحديد مرحلة الدورة الحتية لحوض وادي الموجب-الوالا و(٢٨) وادي فرعى جنوب الأردن وتوصل إلى أن هذه الأودية تمر في مرحلة الشباب وأنها ذات قابلية

عالية للجريان السطحي، وانجراف التربة، وحدوث الانهيارات الأرضية والفيضانات.

وتعبر دورة التعريمة (cycle of erosion) عن الزمن الكلي اللازم لتخفيض طبوغرافية الأرض إلى مستوى القاعدة أي أدنى مستوى، ويمكن تقسيمها إلى ثلاثة مراحل حيث تمثل المرحلة الأولى مرحلة الشباب (Young Stage) ويزيد فيها المعامل الهيسومترى عن (٦٠)، (Strahler,1952). كما يمكن تقييم الأشكال المختلفة للمنحدرات الهيسومترية من خلال المقارنة بين أحواض التصريف المائي المختلفة والأحواض المصنفة وفقاً لمراحل تطورها الجيومورفولوجي، أما المرحلة الثانية فتمثل مرحلة النضج أو التوازن (Mature or Equilibrium stage) ويبلغ المعامل الهيسومترى في هذه المرحلة (٠.٣-٠.٦)، أما المرحلة الأخيرة فتمثل مرحلة الشيخوخة (Old stage) والتي يكون الحوض المائي قد وصل فيها إلى مرحلة الاستقرار ويبلغ المعامل الهيسومترى (٠.٣٠)، (Strahler,1957).



الشكل رقم (١) المنحدرات الهيسومترى لمراحل دورة التعريمة (الشباب، النضج، الشيخوخة) (Strahler,1957)

لذلك فإن التحليل الهيسومترى ذو أهمية في تحليل خصائص الأحواض المائية المرتبطة بمراحل التعرية، والجريان السطحي والعمليات الجيومورفولوجية والتكتونية المختلفة التي تتأثر بها صخور القشرة الأرضية كما أشارت لذلك الكثير من الدراسات التي ذكرت سابقا والتي طبقت على أحواض مائية مختلفة في العالم.

مشكلة الدراسة :

يقوم هذا البحث على تقييم وتحليل المعامل الهيسومترى للأحواض المائية الرئيسية في الأردن من خلال تحليل العلاقة ما بين المساحة والارتفاع للكشف عن مراحل التطور الجيولوجي (الشباب، النضج والشيخوخة) ومدى ارتباط ذلك بالبنية الجيولوجية للأردن ونوع الصخر، بالإضافة على نموذج الارتفاع الرقمي (DEM) بالتكامل ما بين تقنيات الاستشعار عن بعد (RS) ونظام المعلومات الجغرافية (GIS) لتحديد الأحواض المائية في الأردن، وتحديد مساحاتها، وارتفاعاتها وبالتالي تحديد المساحة النسبية والارتفاع النسبي لكل حوض. كما استخدمت القرائن والمعادلات الرياضية الخاصة بحساب المعامل الهيسومترى لتحديد قيمة المعامل الهيسومترى لكل حوض.

أهداف الدراسة :

يهدف هذا البحث إلى تحليل المنحنى الهيسومترى للأحواض المائية الرئيسية في الأردن باستخدام تقنيات الاستشعار عن بعد ونظم المعلومات الجغرافية، من خلال:

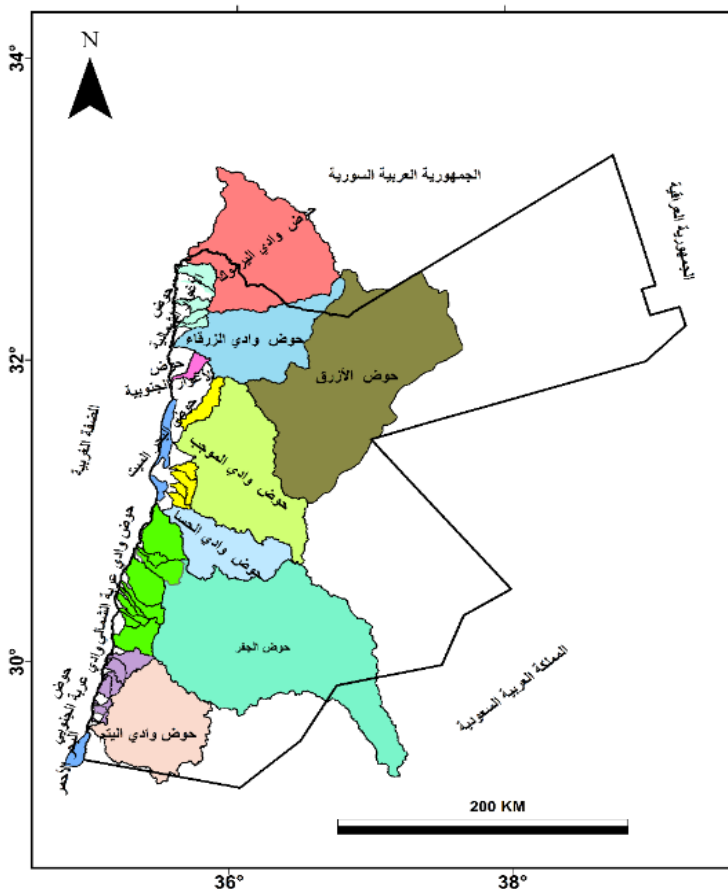
- تحديد المرحلة الحتية (الشباب، النضج والشيخوخة) التي تمر بها الأحواض المائية الرئيسية في الأردن.
- الاستدلال على كمية المواد الصخرية التي ما زالت تنتظر دورها في العملية الحتية.
- تحليل الدلالات الجيومورفولوجية للمعامل الهيسومترى للأحواض المائية الرئيسية في الأردن.
- تحليل العلاقة ما بين المعامل الهيسومترى، وشكل المنحنيات الهيسومترية والبناء التكتوني، ونوع الصخر والخصائص الطبيعية الأخرى للأردن.

أهمية الدراسة :

ترتبط أهمية هذا النوع من الدراسات في تحديد الدورة الحتية للأودية النهرية، ذلك أن الأودية النهرية مع استمرار عمليات الحت لفترات زمنية طويلة تنتقل في أحواضها المائية من مرحلة الشباب فالنضج فالشيخوخة ويرافقه ذلك تناقص في قيمة المعامل الهيسومترى وهذا يعطي مؤشراً على كمية المواد الصخرية التي تعرضت لعمليات الحت أو ما زالت تنتظر دورها في العملية الحتية. وبالتالي إدارة وتقدير الموارد الأرضية وتحديد المناطق ذات القابلية العالية للجريان السطحي، وانجراف التربة، وحدوث الانهيارات الأرضية والفيضانات وغيرها.

منطقة الدراسة :

تقع منطقة الدراسة بين دائري عرض ($٢٩^{\circ}٢٢' . ٣٣^{\circ} . ٠٢'$) شمالاً وبين خط طول ($٣٤^{\circ} . ٣٧' . ٠٩^{\circ} ٦٨'$) شرقاً، بمساحة $٥٦٤٣٩ . ٣ \text{كم}^2$. الشكل رقم (١).

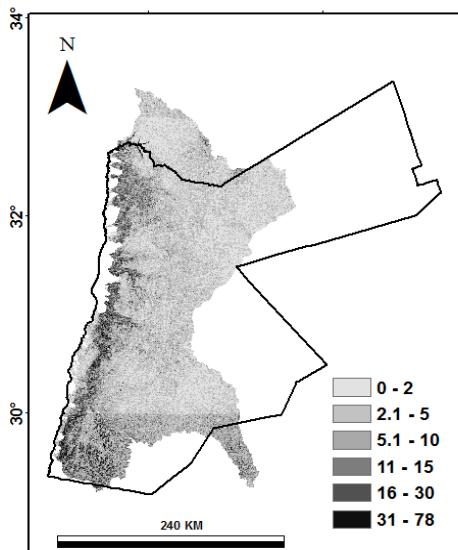


الشكل رقم (١) منطقة الدراسة

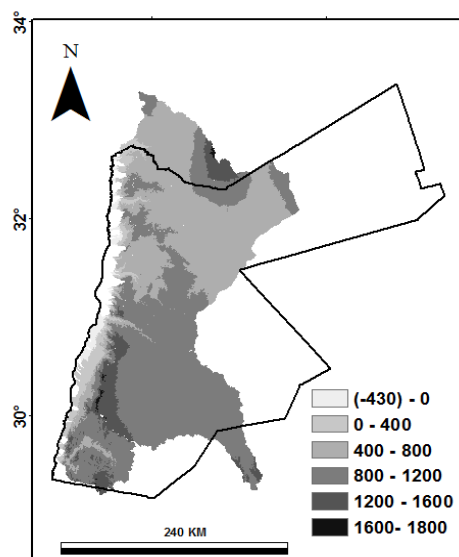
المصدر : عمل الباحث بالاعتماد على (DEM)

كما تعتبر بعض هذه الأحواض المائية في أحواض مشتركة في نظم تصريفها المائي مع دول الجوار الجغرافي. وتنقاض الأحواض المائية في الأردن في مناسبات ارتفاعاتها حيث يتراوح الارتفاع في منطقة الدراسة ما بين (-٤٥٣م) دون مستوى سطح البحر في حوض البحر الميت و(١٨٢٩م) فوق مستوى سطح البحر في الأجزاء العليا من حوض نهر اليرموك، الشكل (٢). أما درجات الانحدار في منطقة الدراسة فتتراوح ما بين (٠ . ٨٠ . ٥٦)

حيث تزداد درجات الانحدار في الاحواض المائية المطلة على الحافة الصدعية لغور الأردن ووادي عربة بشكل ملحوظ، الشكل (٣).



الشكل (٣) درجات الانحدار لمنطقة الدراسة



الشكل (٢) الارتفاع لمنطقة الدراسة

كما يمكن تصنيف المناخ بما يتناسب مع البيئة الطبيعية للأردن إلى ثلاثة أقاليم مناخية تتمثل في الإقليم شبه الرطب، والذي يشمل مرتفعات عجلون ومرتفعات البلقاء، ومرتفعات عمان الشمالية الغربية، وإربد حيث تزيد القيمة الفعلية للأمطار في هذه المناطق عن ٣٢. أما الإقليم شبه الجاف فيشمل المناطق الشمالية والشمالية الشرقية من محافظة أربد، والأغوار الشمالية، والمناطق الهاشمية، وبعض المرتفعات الجنوبية كمرتفعات الكرك، والطفيلية، والشويبك، حيث تتراوح القيمة الفعلية للأمطار فيها ما بين ١٦ - ٣٢. أما باقي المناطق فتقع ضمن الإقليم الجاف، والذي يتمثل في الباذلة الشمالية، والشمالية الشرقية والجنوبية والجنوبية الشرقية والتي تقع ضمنها معظم أجزاء منطقة الدراسة وتتراوح القيم الفعلية فيها ما بين (٣)، (١٦)، (١٦-٣).

(الصباحة، ٢٠١٣). بناء على ذلك يمكن اعتبار الظروف المناخية من العوامل المحددة للقوة الحتية بمعدلات تفوق مثيلاتها في الأقاليم الرطبة.

منهجية الدراسة :

يمكن تحقيق أهداف الدراسة بالاعتماد على المنهج التحليلي من خلال تقنيات الاستشعار عن بعد ونظم المعلومات الجغرافية لتحديد قيمة المعامل الهيسومترى للأحواض المائية الرئيسية على النحو التالي :

- نموذج الارتفاع الرقمي (DEM) (Digital Elevation Model) لتحديد مناسبات الارتفاع لكل من الأحواض المائية الرئيسية في الأردن وتحديد ارتفاعها النسبي كما يلي :

- إعداد خرائط الأحواض المائية: اعتمد الباحث على استخدام نموذج الارتفاع الرقمي (DEM) في تحديد حدود منطقة الدراسة باستخدام تحليل المرئية (Hydrology-Watershed) باستخدام (Image Analysis) في ArcGIS10.4.1، وبعد ذلك رسم حدود منطقة الدراسة على شكل (Vector layer) بدقة عالية حسب نظام الإحداثيات (JTM).

- استخدام نموذج الارتفاع الرقمي (DEM):((Digital Elevation Model (DEM)) تم الحصول على (٢٤) غطاء لنموذج الارتفاع الأرضي، ASTGTM_N29E035_DEM1img/ Resolution 30m×30m to ASTGTM_ N35E037_DEM1img/ Resolution 30m×30m تصحيحها (Correction)، ومن ثم عمل موزاييك (Mosaicking) لمجموعة من المرئيات للحصول على نموذج واحد يمثل منطقة الدراسة، بعد أن تم تحويلها إلى نظام الإحداثيات (JTM). ومن ثم استخدم نموذج الارتفاع الأرضي (DEM) لاستخراج مناسبات الارتفاع ومساحات الأحواض المائية

والمساحات النسبية الخاصة بالأحواض المائية في الأردن باستخدام

برمجية (ArcGIS10. 4. 1.).

- الاعتماد على (DEM) لاعداد الشبكة المائية للأحواض المائية الواقعة ضمن منطقة الدراسة باستخدام (Hydrology-Spatial GIS) من خلال (Analysis).

- المنحني الهيسومترى: يعبر المعامل الهيسومترى عن العلاقة بين الارتفاع النسبي الذى يمثل النسبة بين ارتفاع أي خط كنور فى الحوض إلى أقصى ارتفاع فى الحوض، والمساحة النسبية التي تمثل المساحة المحصورة بين أي خط كنور ومحيط الحوض إلى المساحة الكلية لنفس الحوض، حيث تم وبعد أن يتم استخراج الارتفاع النسبي، والمساحة النسبية يتم توقيع قيم المساحة النسبية على المحور الأفقي، وما يقابلها من قيم الارتفاع النسبي على المحور الرأسى، ومن ثم وصل نقاط التقاطع بين المتغيرين، وبعد ذلك يتم حساب المساحة الواقعة أسفل المنحنى والتي تمثل قيمة المعامل الهيسومترى، اذ تم رسم المنحنى الهيسومترى لـ (٤١) حوضاً مائياً رئيسياً وثانوياً في الأردن من خلال القرينة التالية، (سلامة، ٤٠٠):

$$HI = \frac{\text{Relative Height}(m)}{\text{Relative Area}(km^2)}$$

حيث تمثل *Relative Height(m)* الارتفاع النسبي بالأمتار، وتمثل *Relative Area(km²)* المساحة النسبية بالكيلو متر المربع.

- **تقدير المعامل الهيسومترى:**

استخدمت الصيغة الرياضية التالية، (wilson,2009)، لتقدير قيمة المعامل الهيسومترى لـ (٣٨) حوضاً مائياً في الأردن :

$$HI = \frac{\text{MeanElevation(m)} - \text{MinimumElevation(m)}}{\text{MaximumElevation(m)} - \text{MinimumElevation(m)}}$$

حيث تمثل Mean Elevation متوسط ارتفاع الحوض المائي ، أما Minimum Elevation فتمثل أقل ارتفاع في الحوض، وتمثل Elevation أعلى ارتفاع في الحوض.

- العلاقة ما بين المعامل الهيسومترى ومتوسط الارتفاع، والمساحة الحوضية: حيث اعتمد الباحث على معادلة خط الانحدار باستخدام .(SPSS,22)

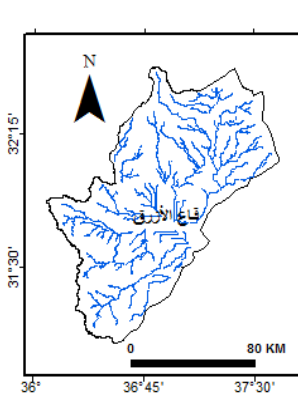
التحليل والمناقشة :

الأحواض المائية في منطقة الدراسة :

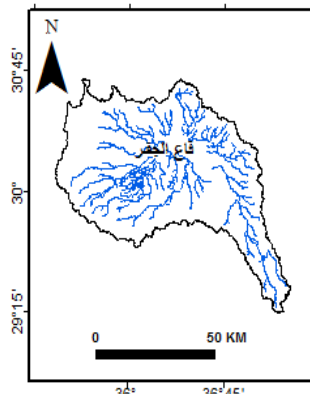
تناول هذا البحث بالدراسة (٣٨) حوضاً مائياً رئيسياً وفرعياً، الأشكال (٤-١٥) والتي تضمنت الأحواض المائية ذات نمط التصريف المركزي والتي تشمل أحواض (الأزرق، والجفر)، والأحواض المائية الرئيسية المستقلة بنظم تصريفها والتي تضمنت أحواض (البيت، والحساء، والموجب، والزرقاء، واليرموك)، أما بقية الأحواض المائية فتشترك في مستويات أساسها وتمثل بأحواض الأغوار الشمالية والأغوار الجنوبية، وحوض البحر الميت، وحوض وادي عربة الشمالي وحوض وادي عربة الجنوبي. وتختلف الأحواض المائية في منطقة الدراسة في توزيعها الجغرافي وخصائصها المناخية ومساحتها، وطبوغرافيتها، ونظم تصريفها المائي، كذلك التباين في الخصائص الجيولوجية وبالتالي يعكس كل ذلك التباين في تركيز العمليات الجيومورفولوجية والجيولوجية، بالإضافة للتباين في

الخصائص المورفومترية لهذه الأحواض كالتضرس والشكل والكثافة التصريفية والمعامل الهبوتمترى.

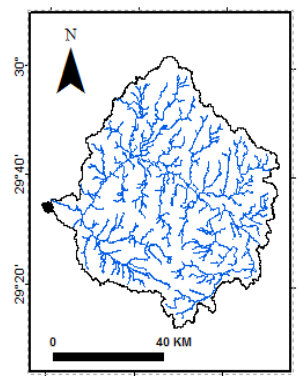
كما تتبادر الأحواض المائية من حيث الشبكة المائية لها، وهذا يرتبط بمجموعة من العوامل الجيولوجية المتعلقة بطبيعة الصخر، كذلك بالعامل المناخي سواء من حيث الجفاف، أو ارتفاع معدلات الأمطار، بالإضافة إلى مساحة الحوض المائي ودرجات الانحدار، ويمكن القول إن خصائص الشبكة المائية للأحواض المائية في الأردن ذات دلالة جيومورفولوجية تتمثل في ضعف النشاط الحتى لأسباب مناخية تتعلق بقلة كميات التساقط، وعوامل جيولوجية ترتبط بنوع الصخر والتكتونيات الجيولوجية.



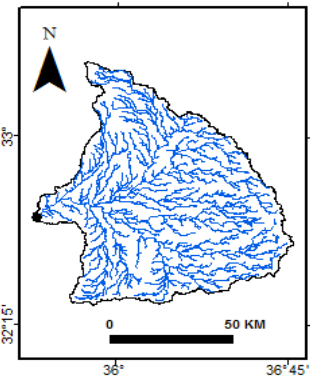
الشكل (4) حوض الأزرق



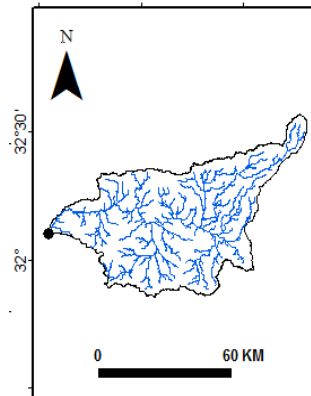
الشكل (5) حوض الجفر



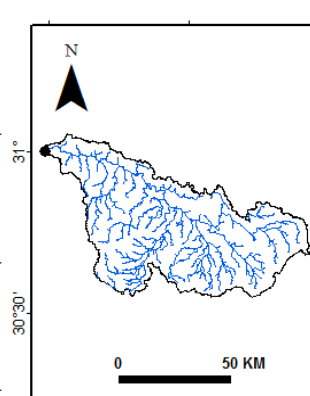
الشكل (6) حوض وادي البتم



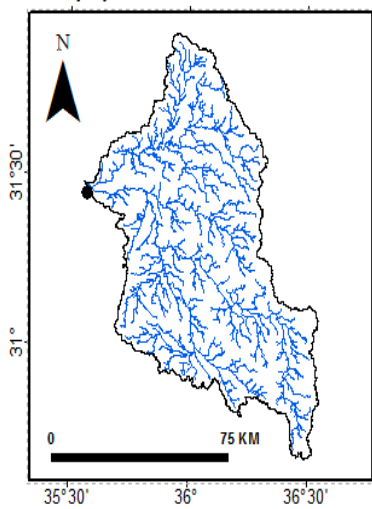
الشكل (7) حوض نهر اليرموك



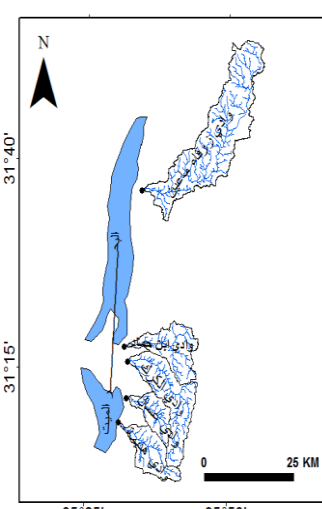
الشكل (8) حوض نهر الزرقاء



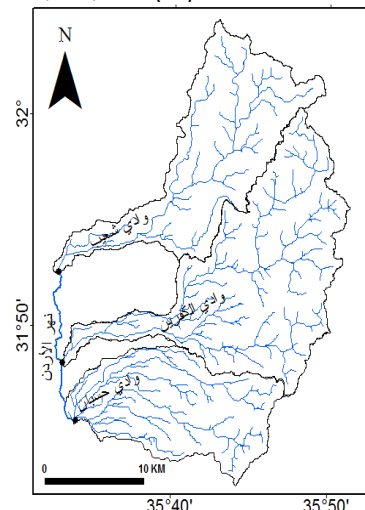
الشكل (9) حوض وادي الحسا



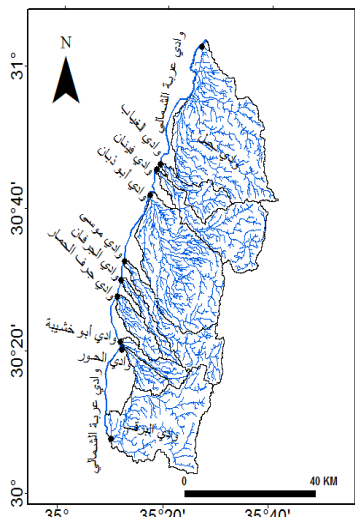
الشكل (١٠) حوض وادي الموجب



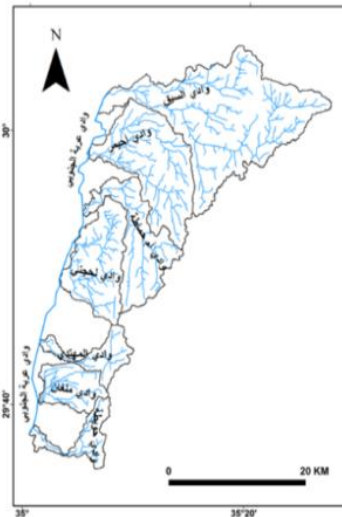
الشكل (١١) حوض البحر المتوسط



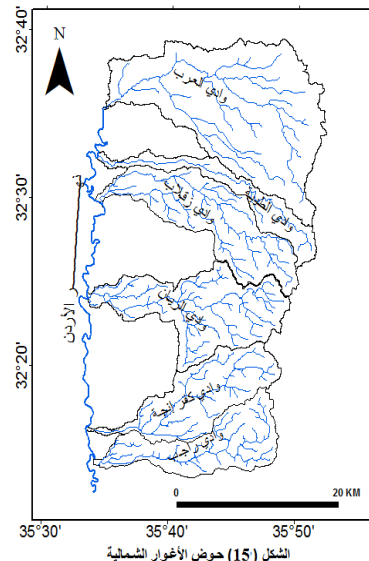
الشكل (١٢) حوض الأخوار الجنوبية



الشكل (13) حوض وادي عربة الشمالي



الشكل (14) حوض وادي عربة الجنوبي

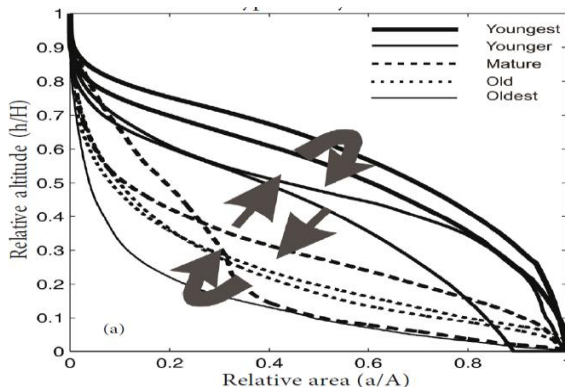


الشكل (15) حوض الأغوار الشمالية

شكل المنحنى الهيسومترى : (Shape of Hypsometric Curve)

تبين الأحواض المائية في منطقة الدراسة في شكل المنحنى الهيسومترى حيث يشير كل من (Hurtrez, and Lucaleau, 1999) إلى أن

الأحواض المائية صغيرة المساحة يكون شكل المنحنى الهيسومترى لها محدبًا (Convex)، أما المنحنيات الهيسومترية ذات الشكل المقعر (concave) فترتبط بالأحواض النهرية كبيرة المساحة، كما يشير (Luo, 1989) إلى أشكال المنحنى الهيسومترى والمرحلة الحتية التي يمر بها، الشكل (١٦).

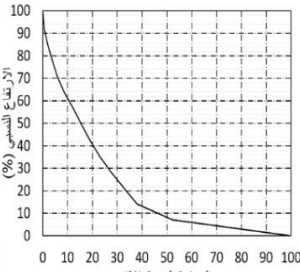
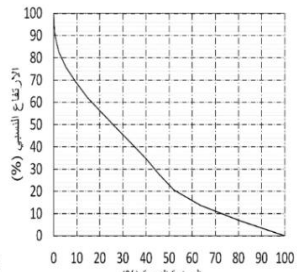
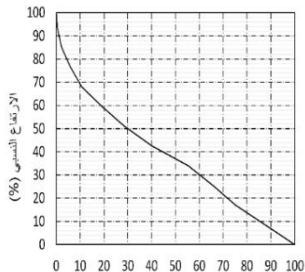
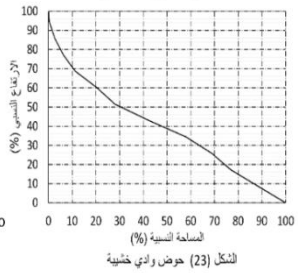
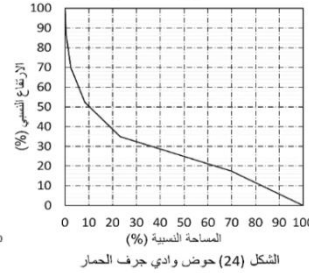
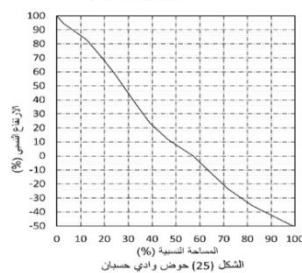
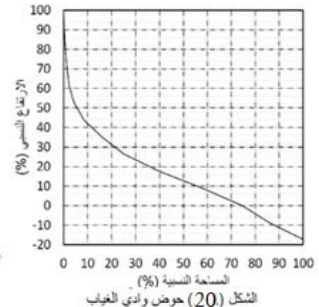
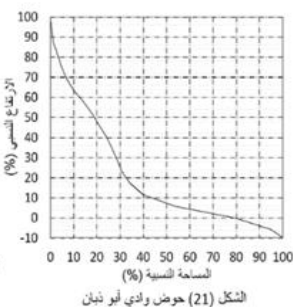
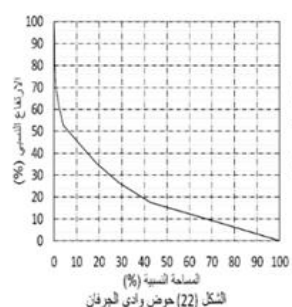
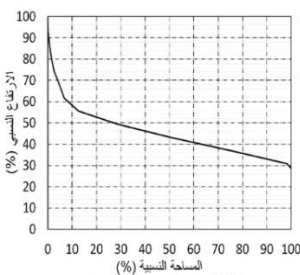
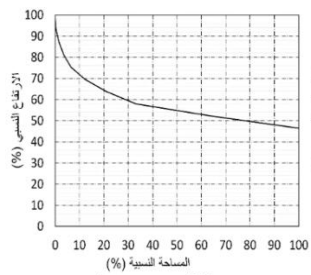
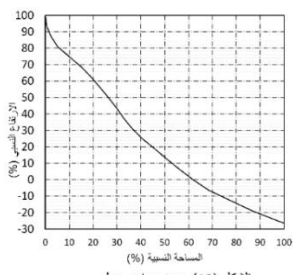


الشكل (١٦) شكل المنحنيات الهيسومترية ، (Luo, 1998)

وتضمنت منطقة الدراسة (٣٨) حوضا نهريا تباينت في شكل المنحنى الهيسومترى لها ما بين الأشكال المحدبة والمقرعة والمنتظمة الشكل، ويمكن تصنيف هذه الأحواض المائية بناء على شكل المنحنى الهيسومترى على النحو التالي :

المنحنيات الهيسومترية المقعرة: ترتبط المنحنيات الهيسومترية المقعرة بالأحواض المائية التي وصلت إلى مرحلة الشيخوخة، أو المنحنيات التي تنتشر في المناطق الجافة في بعض الأحيان، ويمكن تصنيفها في منطقة الدراسة إلى منحنيات هيسومترية مقعرة خفيفة إلى متوسط الانحدار كما الحال بالنسبة لأحواض الأزرق والجفر، الأشكال (١٧، ١٨)، وتمثل هذه الأحواض الأقاليم الجافة في الأردن الشمالية الشرقية والجنوبية الشرقية، حيث أثرت ظروف الجفاف السائدة ونوع الصخر في ضعف عمليات الحف

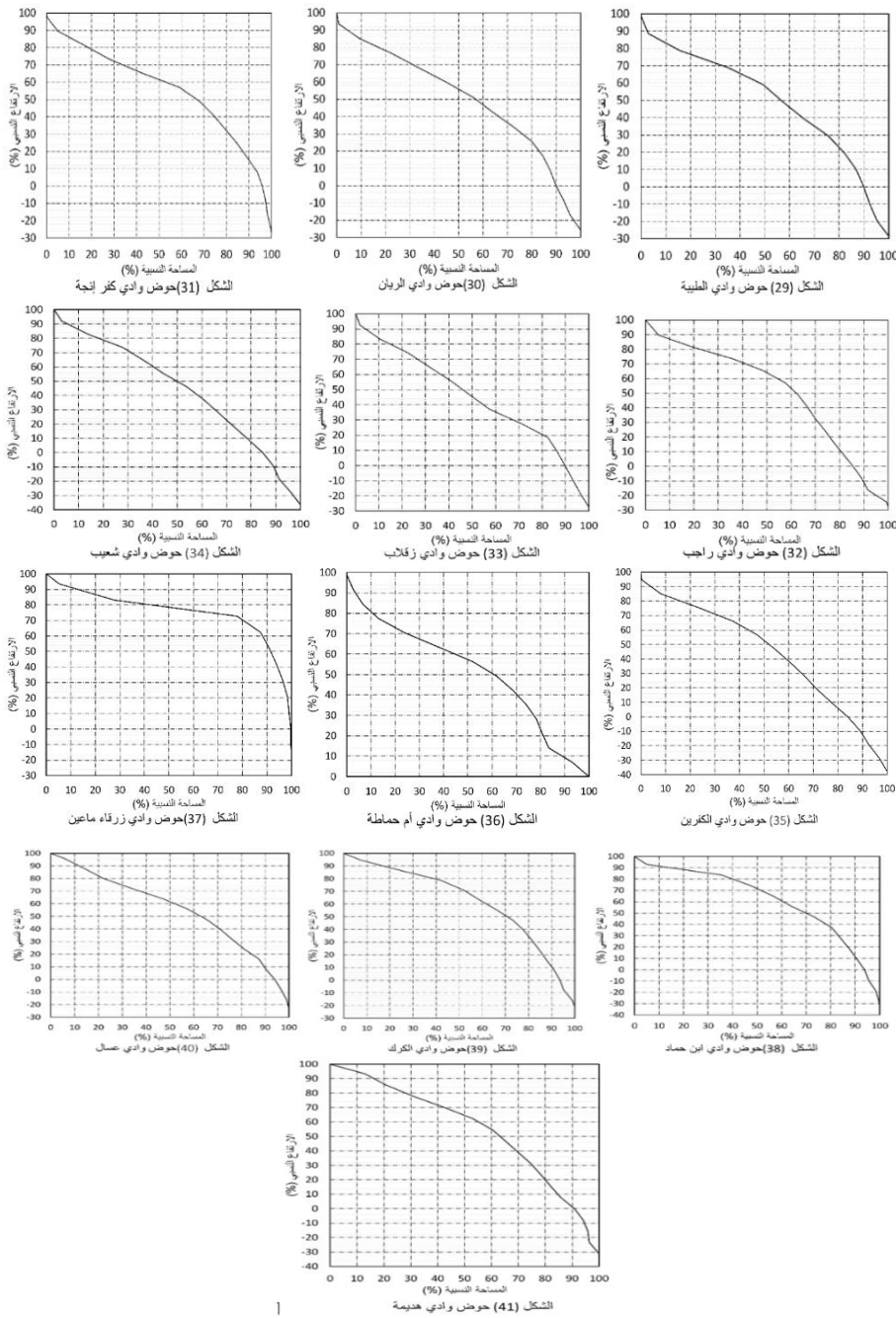
نوح "محمد على" الصباحة: تحليل المعامل الهيدرومترى للأحواض المائية



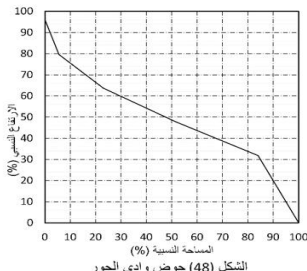
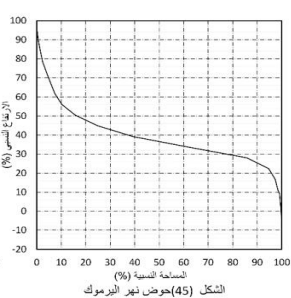
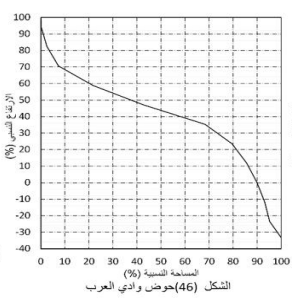
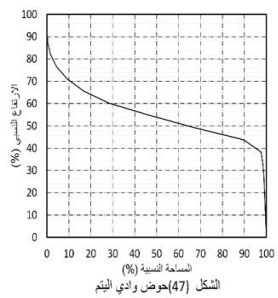
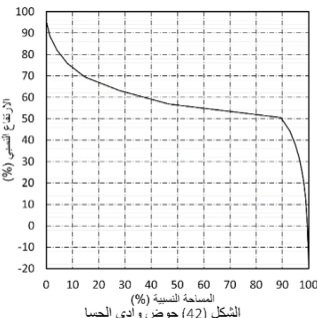
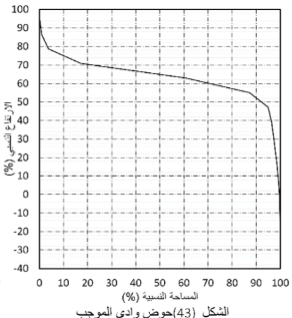
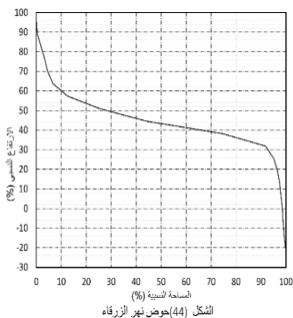
لهذه الأحواض، أما المنحنيات الهبسومترية المقعرة الشكل شديدة الانحدار فترتبط بمعظم أحواض الأودية الثانوية لحوض وادي عربة الشمالي ووادي عربة الجنوبي حيث وصلت معظم هذه الأودية إلى مرحلة الشيخوخة والتي تسود ضمن المنطقة الجافة، كأحواض أودية دحل، والغياب، وأبو ذبان، والجرفان، وخشيبة، وجرف الحمار ضمن حوض وادي عربة الشمالي، ووادي حسبان ضمن حوض الأغوار الجنوبية الأشكال (٢٥-١٩)، وأودية لجني ووادي ملغان واحيمر ضمن حوض وادي عربة الجنوبي الأشكال (٢٨-٢٦).

المنحنيات الهبسومترية المدببة: تعتبر المنحنيات الهبسومترية المدببة من سمات الأحواض المائية المرتبطة بالاحواض المائية الممتدة على طول الحافة الصدعية ضمن الأغوار الشمالية والجنوبية، ويمكن تصنيفها إلى شكلين من المنحنيات يتضمن الشكل الأول المنحنى الهبسومترى ذو الانحدار الخفيف إلى المتوسط والذي يرتبط بأودية حوضي الأغوار الشمالية والجنوبية كأحواض أودية الطيبة، والريان، وكفر إنجة، وراجب، وزقلاب، وشعيب ووادي الكفرین ووادي أم حمادة ضمن حوض وادي عربة الجنوبي، الأشكال (٣٦-٢٩). أما المنحنيات الهبسومترية المدببة شديدة الانحدار فترتبط بأودية حوض البحر الميت، كوادي زرقاء ماعين، وابن حماد، والكرك، وعسال ووادي هديمة، الأشكال (٤١-٣٧).

نوح "محمد على" الصباحة: تحليل المعامل الهيدروستاتيكي للأحواض المائية

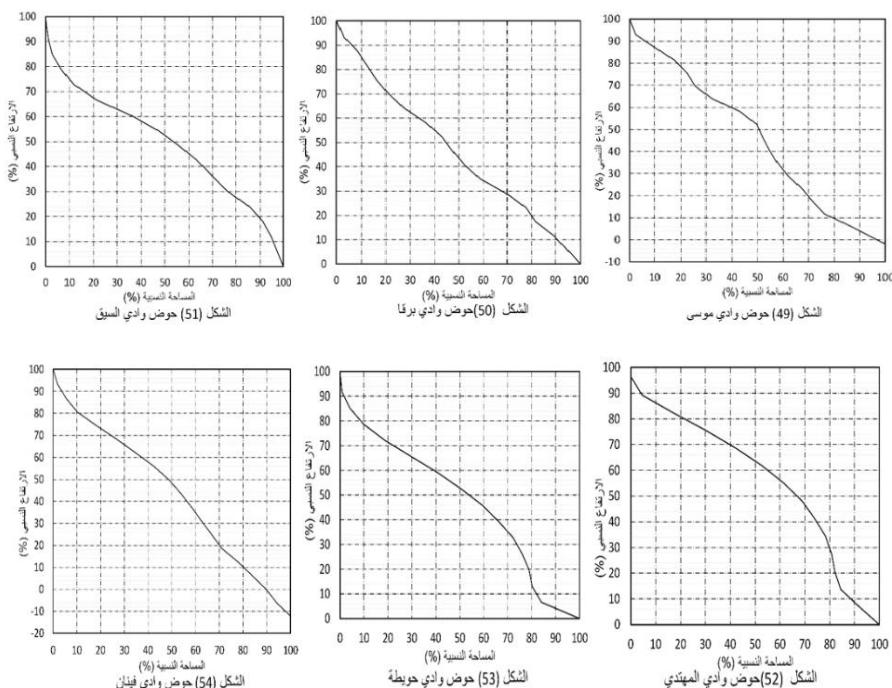


المنحنيات الهبسومترية المقعرة-المحدبة شديدة الانحدار: تعتبر المنحنيات الهبسومترية المقعرة- المحدبة شديدة الانحدار من سمات الأحواض المائية المرتبطة بالأحواض المائية الممتدة على طول الحافة الصدعية من الباقورة شمالاً وحتى أقصى جنوب البحر الميت بالإضافة لجرف رأس النقب، والتي تمثلها أحواض أودية الحسا، الموجب، الزرقاء، واليرموك، والعرب، ووادي اليم، بالإضافة لوادي الحور الذي يعتبر من أودية حوض وادي عربة الشمالي الأشكال (٤٢-٤٨).



المنحدرات الهيسومترية ذات شكل المنحنى الهيسومترى غير المنتظم:

ترتبط هذه المنحدرات ببعض أودية حوضي وادي عربة الشمالي والجنوبي والتي يظهر فيها تتابع للمحارات والم-curves والتي ترتبط بعدم انتظام الجريان السطحي وتقطعة كأحواض أودية موسى، والبرقا، والسيق، والمهدي، وفيما يلي الأشكال وحيطة (٤٩-٥٤).

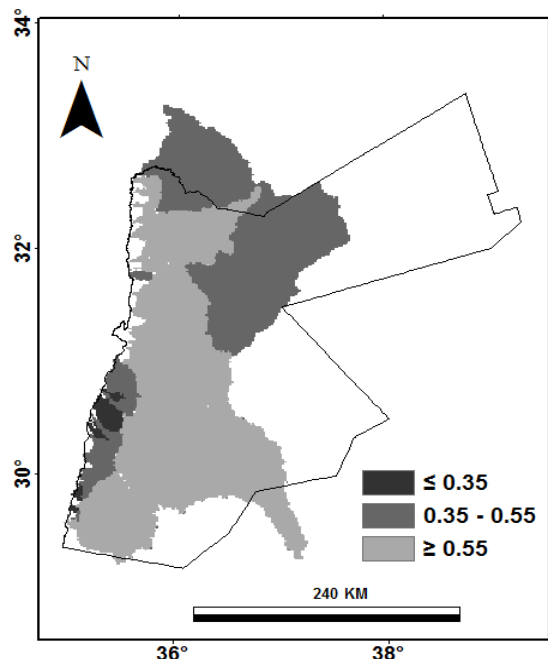


المعامل الهيسومترى (Hypsometric Integral (HI)) :

يشير (١٩٨٣) (Harrison et al.) بأن قيم المعامل الهيسومترى تتباين ما بين (٠.٠٥) وأن قيم المعامل الهيسومترى المرتفعة (≤ 0.05) ترتبط بالأحواض المائية التي تمر في مرحلة الشباب والتي تكون فيها العمليات التكتونية هي المهيمنة مقارنة بعمليات التعرية، أما قيم المعامل الهيسومترى

المنخفضة (≥ 0.35) فترتبط بالأحواض المائية التي تمر بمرحلة الشيخوخة التي تأكلت معظم أجزائها، أما الأحواض المائية التي تبلغ ذات القيم المتوسطة للمعامل الهيسومترى (~ 0.5) فترتبط بالتوازن الديناميكى ما بين عمليات التعرية والعمليات التكتونية.

وبناء على ذلك يمكن تصنيف منطقة الدراسة إلى ثلاثة فئات الأولى الأحواض ذات قيم المعامل الهيسومترى المرتفعة (≤ 0.55)، والثانية الأحواض ذات قيم المعامل الهيسومترى المنخفضة (≥ 0.35)، والفئة الثالثة المتوسط ($0.35 - 0.55$) الشكل (٥٥).



الشكل (٥٥) قيم المعامل الهيسومترى (HI)

إذ يمكننا من خلال تحديد المعامل الهيسومترى التقييم الجيومورفولوجي للأحواض التصريف المائي ، وتتراوح قيم المعامل

الهيسومترى في منطقة الدراسة ما بين (١٩,٠٠) لحوض وادي لجني في وادي عربة الجنوبي، و(٨٠,٠٠) لحوض وادي زرقاء ماعين في حوض البحر الميت، وتتركز الأحواض المائية التي نقل ذات قيم المعامل الهيسومترى المنخفضة والتي وصلت أوديتها إلى مرحلة الشيخوخة في حوض وادي عربة الشمالي كأودية الغياب، وأبو ذبان، والجرفان ووادي جرف الحمار والتي تبلغ قيم المعامل الهيسومترى لها (٢٧,٠٠) و(٢٥,٠٠) و(٢١,٠٠) على التوالي. أما الأحواض المائية التي تمر أوديتها في مرحلة الشباب فترتبط بشكل عام بالأودية على طول الحافة الصدعية من الباقورة شمالاً إلى جنوب البحر الميت ، بالإضافة لجنوب جرف رأس النقب، فقيم المعامل الهيسومترى مرتفعة كوادي زرقاء ماعين الذي يمر في مرحلة الشباب المبكر (٨٠,٠٠)، وأودية الموجب (٧٢,٠٠)، ابن حماد (٧١,٠٠)، الكرك (٧١,٠٠) والتي تمر في مرحلة الشباب المتوسط، ومن أودية الأخدودالأردنى التي تمر في مرحلة الشباب المتأخر أودية هديمة (٦٧,٠٠)، الحسا (٦٥,٠٠)، كفر انجة (٦٥,٠٠) بالإضافة لأودية شعيب ، والكرفين والزرقاء والتي تمر في مرحلة الشباب المتأخر.

أما الأحواض التي تعبر معاملاتها الهيسومترية عن التوازن ما بين عمليات التعرية والعمليات التكتونية، فتمثلت بعدد كبير من الأودية والتي تمر في مرحلة النضج كوادي اليرموك، وحوض الأزرق والتي بلغت معاملاتها الهيسومترية (٤٥.٤٦.٠٠) على التوالي، وغيرها الكثير من أودية المنطقة الحافة، الجدول (١).

الجدول (١) المعامل الهيسومترى والقياسات المورفومترية للأحواض المائية في الأردن

المعامل الهيسومترى	متوسط الارتفاع (م)	أقل ارتفاع (م)	أعلى ارتفاع (م)	المحيط (كم)	المساحة (كم²)	الحوض
0.45	980.00	464.00	1621.00	695	12611.00	الأزرق
0.46	700.00	-213.00	1786.00	564	6594.90	اليرموك
0.55	337.60	-283.00	850.00	129	294.32	وادي العرب
0.60	497.90	-290.00	1016.00	92	60.26	وادي الطيبة
0.57	484.45	-294.00	1079.00	81	136.16	وادي زقلاب
0.60	585.70	-301.00	1176.00	98	147.00	وادي الريان
0.65	682.00	-331.00	1226.00	80	112.20	وادي كفر أنجة
0.61	615.04	-345.00	1226.00	66	111.00	وادي راجب
0.55	704.60	-358.00	1577.00	466	4191.78	وادي الزرقاء
0.59	471.70	-395.00	1086.00	125	196.00	وادي شعيب
0.59	458.05	-399.00	1057.00	128	274.80	وادي الكفرين
0.80	728.67	-225.00	962.00	187	402.68	وادي زرقاء ماعين
0.71	659.00	-365.00	1076.00	70	124.50	وادي ابن حماد
0.68	785.00	-266.00	1270.00	87	184.50	وادي الكرك
0.63	690.00	-281.00	1249.00	45	68.23	وادي عسال
0.67	734.40	-400.00	1285.00	59	100.34	وادي هديمة
0.38	336.00	-430.00	1603.00	199	773.60	وادي دحل
0.27	168.30	-197.00	1139.00	95	111.13	وادي الغياب
0.49	698.20	-195.00	1611.00	164	332.22	وادي فينان
0.27	342.60	-168.00	٠٠.١٧٢٠	152	610.11	وادي أبو ذبان
0.46	780.10	-31.00	1722.00	161	232.84	وادي موسى
0.21	234.80	-1.00	1140.00	92	65.25	وادي الجرفان
0.25	158.00	21.00	573.00	72	90.56	وادي جرف الحمار

٣٢٩ نوح "محمد على" الصباحة: تحليل المعامل الهيسومترى للأحواض المائية

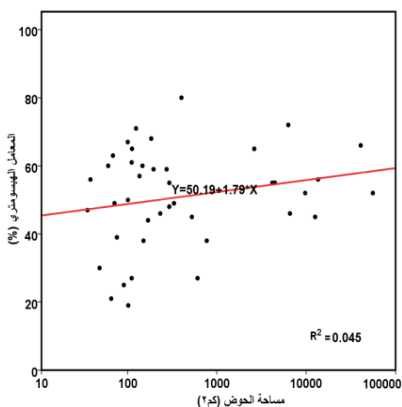
المعامل الهيسومترى	متوسط الارتفاع (م)	أقل ارتفاع (م)	أعلى ارتفاع (م)	المحيط (كم)	المساحة (كم²)	الحوض
0.39	460.00	10.00	1164.00	81	75.66	وادي أبو خشيبة
0.49	316.00	20.00	628.00	65	71.02	وادي الحور
0.45	798.40	60.00	1717.00	172	527.26	وادي البرقا
0.48	813.40	50.00	1649.00	154	294.00	وادي السيق
0.38	451.60	10.00	1175.00	94	150.96	وادي أحimer
0.50	729.00	50.00	1419.00	106	100.85	وادي أم حمادة
0.19	295.40	31.00	1415.00	73	101.61	وادي لجني
0.56	821.30	20.00	1456.00	60	37.78	وادي المهندى
0.30	448.00	12.00	1450.00	46	48.06	وادي ملغان
0.47	720.30	11.00	1524.00	66	34.99	وادي حويطة
0.55	1008.40	9.00	1829.00	563	4468.38	وادي اليتيم
0.56	1320.00	802.00	1725.00	870	13608.37	الجفر
0.72	802.70	-423.00	1271.00	733	6315.55	وادي الموجب
0.65	920.26	-334.00	1583.00	438	2632.47	وادي الحسا
0.44	128.78	-429.00	845.00	72	169.87	وادي حسبان

العلاقة بين المعامل الهيسومترى والمساحة الحوضية، متوسط الارتفاع
ومعدل الأمطار :

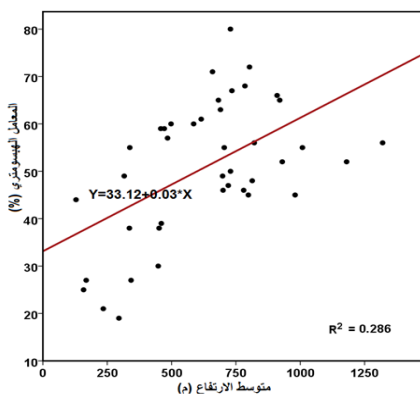
يرتبط تطور المساحة الحوضية بنشاط الحت التراجمي الناتج عن استمرار عمليات الحت بفعل العمليات المائية وما لها من دور فعال في تراجع منطقة تقسيم المياه فوق المرتفعات، كذلك بفعل الحركات التكتونية (الرفع والهبوط) وارتباط ذلك بالمرحلة الحتية لهذه أحواض، حيث تبين من

خلال تحليل الانحدار الخطي البسيط للعلاقة ما بين مساحة الأحواض المائية ومتوسط الارتفاع لهذه الأحواض والمعاملات الهبيومترية الخاصة بها عدم وجود علاقة ملحوظة أو دلالة احصائية بين المساحة الحوضية والمعامل الهبيومترى اذ لم يتجاوز التغير الذي أحدثه المساحة الحوضية في المعامل الهبيومترى (٤٥،٥٦)، من جهة أخرى وجدت علاقة ملحوظة أو ذات دلالة إحصائية ما بين متوسط الارتفاع للأحواض المائية ومعاملاتها الهبيومترية وإن كانت ضعيفة حيث بلغ التغير الذي أحدثه متوسط الارتفاع في المعامل الهبيومترى حوالي (٢٩،٥٧). وهذا يعطي دلالة مهمة بأن نشأة وتطور الأحواض المائية في الأردن ارتبط بشكل عام بالظروف المناخية التي كانت سائدة في الماضي، أو بالنشاط التكتوني. كما تعتبر صخور القشرة الأرضية مسرحاً لعمليات الحت والهدم حيث تفرض خصائص الصخور التباين في عمليات الحت والتعرية مما ينعكس على المساحات الحوضية.

وبالربط ما بين التنوع الصخري والتباين في المساحات الحوضية في الأردن، فإنه يمكن اعتبار المناطق ذات الصخور الرملية ذات مساحات حوضية أكبر من الأحواض ذات الصخور الجيرية، في حين تحتفظ المناطق ذات الصخور البازلتية والجرانيتية بأصغر الأحواض المائية مساحة، (سلامة ١٩٨٠).

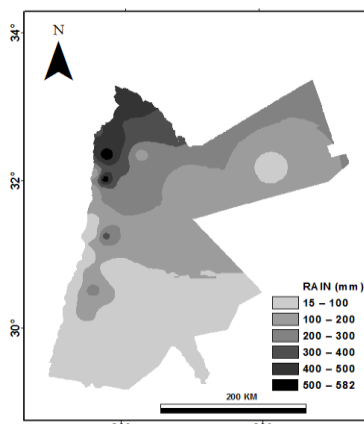


الشكل (٥٧) العلاقة بين المساحة والمعامل
والمعامل الهيسومترى



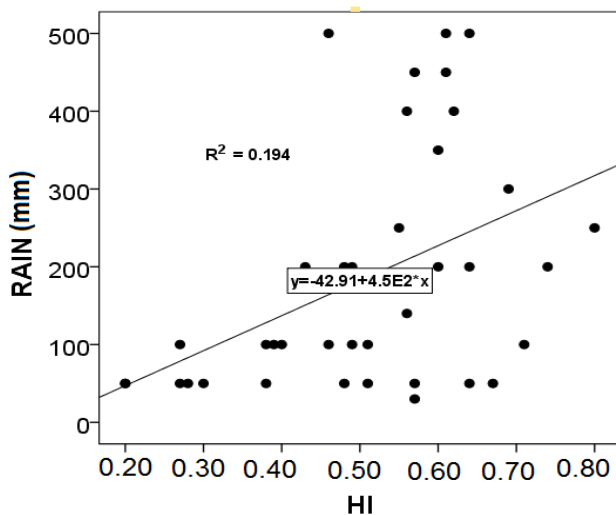
الشكل (٥٦) العلاقة بين المساحة والمعامل
الهيسومترى

وتنتفاوت معدلات الأمطار لهذه الأقاليم فتزيد معدلات الأمطار عن ٤٠٠ ملم في الإقليم شبه الرطب وتحديداً الأحواض التي تتبع أوديتها من المرتفعات الشمالية، وتتراوح ما بين ٢٠٠ ملم و ٤٠٠ ملم في الإقليم شبه الجاف في الأجزاء الشمالية الشرقية والجنوبية من منطقة الدراسة، وتقل عن ٢٠٠ ملم وأحياناً عن ٥٠ ملم في الإقليم الجاف في معظم الأجزاء الشرقية والجنوبية الشرقية من منطقة الدراسة الشكل (٥٨).



الشكل (٥٨) معدلات الأمطار

كما تبين من خلال تحليل الانحدار الخطي للعلاقة ما بين المعامل الهبسومترى ومعدلات الأمطار لـ ٣٨ حوضاً تمثل منطقة الدراسة وجود علاقة ذات دلالة إحصائية عند مستوى ثقة (0.01) حيث بلغ معامل الارتباط (0.44)، الشكل(٥٩). و هي علاقة متوسطة وهذا يعود لوجود عوامل مشتركة أثرت في قيم المعامل الهبسومترى بالإضافة للأمطار كالخصائص الجيولوجية واستعمالات الاراضي وغيرها. كما أن الكثير من الأحواض المدروسة أعيد تجديد شبابها نتيجة تكون حفرة الانهدام الأفروآسيوية التي كونت منطقة وادي الأردن، البحر الميت ووادي عربة كما ذكر سابقاً.



الشكل (٥٩) العلاقة بين معدل الأمطار والمعامل الهبسومترى

المعامل الهبسومترى والبنية الجيولوجية، نوع الصخر:

حاول في هذا المجال (ZAMOSTEANU, et al., 2015) الربط ما بين قيم المعامل الهبسومترى والتركيب الصخري والعمليات التكتونية في جبال (Ronda) شمالى رومانيا وتوصل إلى أن المعامل الهبسومترى للمنحدرات

الشمالية بلغ (٢٩-٨٢,٠) ، والجنوبية (٤١-٥١,٠) وأظهرت النتائج بأن قيم المعامل الهيسومترى أكبر من (٥٠,٠) في المناطق التي تتأثر باستمرار بالعمليات التكتونية وخاصة في الأجزاء الشمالية، وأن المناطق ذات تكوينات (Oligocene, Miocene, Pleistocene and Holocene) ذات قيم منخفضة للمعامل الهيسومترى (٥٠,٠)، أما المناطق ذات تكوينات فقىم (Precambrian, Cambrian, Silurian, Eocene, Miocene and Pliocene) المعامل الهيسومترى فيها مرتفعة (٥٠,٠).

أما (Quanbari,et al. 2014) فقد درس الاختلافات المكانية للنشاط التكتوني في أحواض (Marvdasht) جنوب غرب إيران من خلال تحليل المنحني الهيسومترى، ووجد أن المعامل الهيسومترى يتوجه للزيادة نحو الشمال الشرقي المكونة من الحجر الجيري وغيرها من الصخور الصلبة ، ويتجه لانخفاض التدرج نحو الجنوب الغربي.

حيث تؤثر الحركات البنائية في المعامل الهيسومترى للأحواض المائية من خلال ما تسببه من عمليات رفع في منطقة المنابع أو هبوط في بيئة المصب وبالتالي اضطراب في مناسب سطح الأرض وانحدارها وازدياد الطاقة الحتية للمجاري المائية وقد يوصلها إلى مرحلة التصabi، وهذا ينطبق على معظم أودية الحافة الصدعية في الأردن والتي تمتد من جنوب البحر الميت الى الباقة شملاً، الشكل (٥٨). والتي تزيد معاملاتها الهيسومترية عن (٥٥,٠) وذات

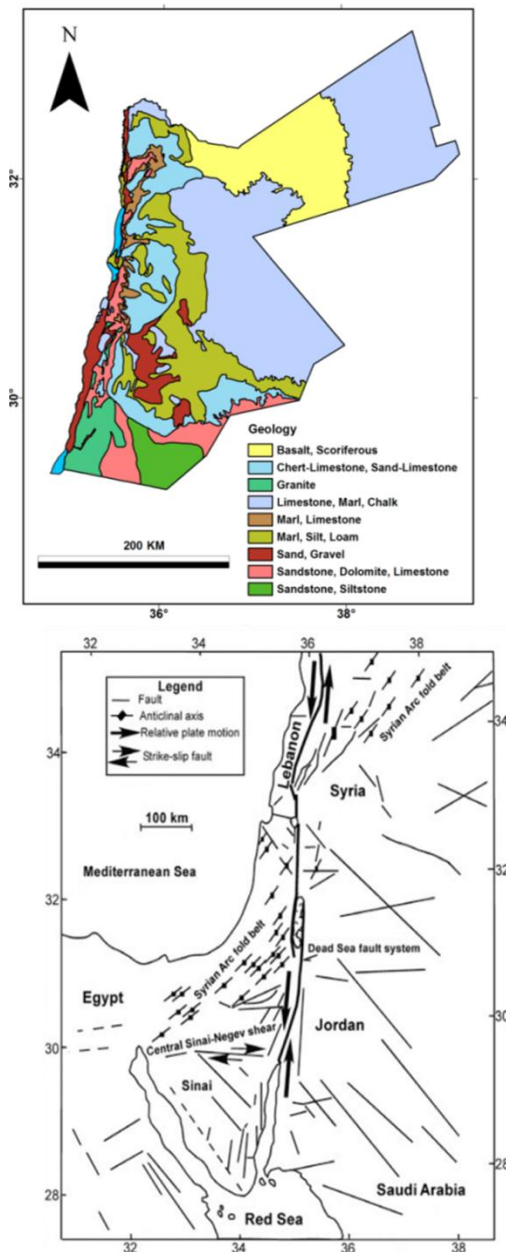
منحنيات هيسومترية محدبة، كأودية حوض الأغوار الشمالية ومعاملاتها الهيسومترية (٥٥-٦١,٠) حيث تظهر الجروف الواضحة في بعض أجزاءه والتي يغطي الحجر الكلسي و الرملي معظم أجزاءه، الشكل

(٥٩) ، أما الأغوار الجنوبية ومعاملاتها الهيسومترية (٤٤-٥٩٠) فتغطيها صخور الحقبتين الثانية والثالثة الجيرية والرملية مع وجود للصخور الرملية، بالإضافة لأودية حوض البحر الميت والتي وصلت معظم أوديتها إلى حالة التصabi ومعاملاتها الهيسومترية (٦٣-٨٠٠). بالإضافة للصدوع وسط وشمال الأردن كصدوع (رميمين -الزرقاء)، وصدع وادي شعيب، وصدع (عمان-الحلبات)، وصدع جبل نبيو، وصدع زرقاء ماعين، وصدع سوادة، وصدع (الفيحاء -الكرك)، وصدع وادي الحسا الشكل (٥٨)، والتي أثرت في زيادة المعامل الهيسومترى للأودية الجانبية لوا迪 الأردن والبحر الميت ومثال ذلك وادي الزرقاء ومعامله الهيسومترى (٥٥-٥٥)، وادي الموجب ومعامله الهيسومترى (٧٢-٧٠)، وادي الحسا ومعامله الهيسومترى (٦٥-٦٠)، وادي الكرك ومعاملة الهيسومترى (٦٨-٦٠)، ووادي شعيب ومعاملة الهيسومترى (٩٥-٩٠). وهذا ينطبق على الكثير من الأحواض المائية وأوديتها في الأردن كصدع رأس النقب وصدع (القويرة-المدوره) والتي أثرت في المعامل الهيسومترى لوادي الitem (٥٥-٥٠) والذي يغطي معظم أجزاء الصخور الجرانيتية، وحوض الديسة (٥٢-٥٠). الذي يغلب على تكوينة الحجر الكلسي والسلتي والرملی، وصدع (الفيحاء- الكرك)، وصدع (عرجا-عوينة) ، وصدع سلوان الذي أثر في المعامل الهيسومترى لحوض الجفر (٥٦-٥٠) ويغطي معظم أجزائه الحجر الرملي والجيري والسلتي واللومي.

أما البناء التكتوني لوادي عربة والذي يمتد من خليج العقبة جنوباً وحتى جرف خزيرة جنوب البحر الميت شمالاً والذي يمثله صدع وادي عربة الشكل (٦٠)، فيمثله حوض وادي عربة الشمالي والذي يمتد من جبل

الريشة وحتى جرف خنزيرة شمala وينحدر هذا الجزء جنوبًا وتتجه مياهه صوب البحر الميت، ويترابط المعامل الهيسومترى لهذه الأودية ما بين (٢٥، ٤٩-٥٠) حيث يرتفع المعامل الهيسومترى في الأودية التي تظهر على شكل جروف كوادي فينان (٤٩، ٥٠)، وادي موسى ووادي الجرفان (٤٦، ٥٠) لكليهما، ووادي الحور (٤٩، ٥٠) ويمر صدع وادي عربة عند سفحها، أما الأودية التي يقل فيها المعامل الهيسومترى فتتمثل المنحدرات ميلاً طبيعياً لطيفاً باتجاه وادي عربة كاودية الغياب، أبوذبان، جرف الحمار ومعاملاتها الهيسومترية (٢٧، ٢٧، ٢٧، ٥٠) على التوالي. وتشكل الصخور الجرانيتية الأجزاء العليا لهذه الأودية، غير أن الصخور الرسوبية الرملية والجيرية الأكثر أهمية في حوض وادي عربة الشمالي الشكل (٦١).

أما حوض وادي عربة الجنوبي فيمتد من جبل الريشة إلى خليج العقبة وأودية هذا الحوض معاملاتها الهيسومترية أعلى نسبياً من أودية وادي عربة الشمالي وترأحت هذه المعاملات ما بين (١٩، ٥٦، ٥٦) لوادي لحجي ولوادي المهدي ولا ضير في ارتفاع هذه المعاملات لمعظم أودية الحوض فالجبال في الجانب الشرقي لوادي عربة الجنوبي ترتفع على شكل جروف عمودية تقريباً ويغلب عليها صخور الجرانيت، غير أن النشاط حتى لبعض الأودية وانتشار المرابح الفيوضية بشكل واضح لبعض أودية هذا الحوض أدى إلى انخفاض المعامل الهيسومترى لبعض الأودية كوادي أحيمير، ووادي ملغان ووادي لحجي ومعاملاتها الهيسومترية (١٩، ٣٠، ٣٠، ٣٨) على التوالي. وتتحدد الكثير من الأودية في الحرة البازلتية والتي ترتفع حوض الأزرق ونهر الزرقاء ونهر اليرموك ووادي السرحان والقيعان في حوض الحمام (عاد، ٢٠٠٠).



الشكل (٥٨) الصدوع في الأردن الشكل (٥٩) التراكيب الصخرية في الأردن
(سلطة المصادر الطبيعية (Enzel & Yosef, 2017))

ملخص النتائج :

- تتراوح قيم المعامل الهيسومترى في منطقة الدراسة ما بين (١٩,٠) لحوض وادي لحجني في وادي عربة الجنوبي، و(٨٠,٠) لحوض وادي زرقاء ماعين في حوض البحر الميت، وتتركز الأحواض المائية التي تقل ذات قيمة المعامل الهيسومترى المنخفضة والتي وصلت أوديتها إلى مرحلة الشيخوخة في حوض وادي عربة الشمالي. أما الأحواض المائية التي تمر أوديتها في مرحلة الشباب فترتبط بشكل عام بالأودية على طول الحافة الصدعية من الباقورة شمالاً إلى جنوب البحر الميت ، بالإضافة لجنوب جرف رأس النقب.
- ترتبط المنحدرات الهيسومترية المقعرة بالأحواض المائية التي وصلت إلى مرحلة الشيخوخة، أو المنحدرات التي تنتشر في المناطق الجافة. كما تعتبر المنحدرات الهيسومترية المحدبة من سمات الأحواض المائية المرتبطة بالأحواض المائية الممتدة على طول الحافة الصدعية ضمن الأغوار الشمالية والجنوبية بالإضافة لأودية حوض البحر الميت. أما بالنسبة للمنحدرات الهيسومترية المقعرة- المحدبة شديدة الإنحدار من سمات الأحواض المائية المرتبطة بالأحواض المائية الممتدة على طول الحافة الصدعية من الباقورة شمالاً وحتى أقصى جنوب البحر الميت بالإضافة لجرف رأس النقب، أخيراً ترتبط هذه المنحدرات ببعض أودية حوضي وادي عربة الشمالي والجنوبي والتي يظهر فيها تتبع للمدبات والمقعرات والتي ترتبط بعدم انتظام الجريان السطحي.
- تبين من خلال تحليل الإنحدار الخطي البسيط للعلاقة ما بين مساحة الأحواض المائية ومتوسط الارتفاع لهذه الأحواض والمعاملات

الهبسومترية الخاصة بها عدم وجود علاقة ملاحظة أو دلالة إحصائية بين المساحة الحوضية والمعامل الهبسومترى إذ لم يتجاوز التغير الذى أحدثه المساحة الحوضية في المعامل الهبسومترى (٤٥،٤٠). من جهه أخرى وجدت هناك علاقة ت ملاحظة أو ذات دلالة إحصائية ما بين متوسط الارتفاع للأحواض المائية ومعاملاتها الهبسومترية وإن كانت ضعيفة حيث بلغ التغير الذى أحدثه متوسط الارتفاع في المعامل الهبسومترى حوالي (٢٩،٠٠).

- تبين من خلال تحليل الانحدار الخطي للعلاقة ما بين المعامل الهبسومترى ومعدلات الامطار لـ ٣٨ حوض تمثل منطقة الدراسة وجود علاقة ارتباطية ذات دلالة إحصائية عند مستوى ثقة ٠،٠١ حيث بلغ معامل الإرتباط (44 %).

- تؤثر الحركات البنائية في المعامل الهبسومترى للأحواض المائية من خلال ما تسببه من عمليات رفع في منطقة المنابع أو هبوط في بيئة المصب، وبالتالي اضطراب في مناسب سطح الأرض وانحدارها، وازدياد الطاقة الحتية للمجاري المائية وقد يوصلها إلى مرحلة التصabi، وهذا ينطبق على معظم أودية الحافة الصدعية في الأردن والتي تمتد من جنوب البحر الميت إلى الباكورة شمالاً، والتي تزيد معاملاتها الهبسومترية عن (٥٥،٠٠) وذات منحنيات هبسومترية محدبة.

قائمة المصادر والمراجع

المراجع العربية :

- سلامة، حسن. (٢٠٠٤)، *أصول الجيومورفولوجيا* ، (١٦) ، عمان : دار المسيرة: ١٨٣.
- سلامة، حسن. (١٩٨٠) التحليل الجيومورفولوجي للخصائص المورفومترية للأحواض المائية في الأردن، مجلة دراسات، ٩٧:٦، ٦٢:٢. ١٣٢.
- سلطة المصادر الطبيعية (٢٠١٠)، خرائط جيولوجية مقاييس (١:١٠٠٠٠٠)، ١:٥٠٠٠٠. عمان، الأردن.
- الصبابحة، نوح. (٢٠١٣) تقييم احتمالية الحصاد المائي في حوض الجفر جنوب شرق الأردن باستخدام تقنيات الاستشعار عن بعد (R. S) ونظام المعلومات الجغرافية (GIS)، أطروحة دكتوراه، الجامعة الأردنية، عمان، الأردن.
- عابد، عبد القادر. (٢٠٠٠)، *جيولوجيا الأردن وببيته ومياهه*، (١٦)، عمان: منشورات نقابة الجيولوجيين الأردنيين: سلسلة الكتب العلمية ١.

المراجع الأجنبية :

- Babu, K. J. , Sreekumar, S. , Arish Aslam, A. , Midhun,K. (2014)Hypsometry and Geomorphic Development of a Watershed: A Case Study from South India.
- Demoulin, A. (2010) Basin and river profile morphometry: A new index with a high potential for relative, Geomorphology journal,8,1-12.
- Devi, R. K. ,Kushwaha. R. A. S. (2015) Hypsometric Analysis of A Part of Ijai River, Manipur,American International Journal of Research in Science, Technology, Engineering & Mathematics, 15-449 346-349.

- Enrique,V. , Di Benedetto. ,F. , Grimaldi. ,S. , Eltahir. E. A. B. (2008), Hypsometric control on surface and subsurface runoff, Water Resources Research, VOL. 44, W12502, doi:10.1029/2008WR006931.
 - Enzel,Y and Bar-Yosef. (2017) Quaternary of the Levant :Environment ,ClimateChange, and Humans, First Published ,Cambridge University(<https://books.google.com/books?id=hhSVDgAAQBAJ&pg=PA6&lpg=PA6&dq=fault+in+jordan&source=bl&ots=V090mr3HUI&sig=saVEaOXpiVX3M01YzOobaXuq2Ss&hl=ar&sa=X#v=onepage&q&f=true>)
 - Farhan, Y. , Elgaziri, A. , Elmaji, I. and Ali, I. (2016) Hypsometric Analysis of Wadi Mujib-Wala Watershed (Southern Jordan) Using Remote Sensing and GIS Techniques. *International Journal of Geosciences*, 7, 158-176.
 - Harrison, C. G. , Miskell, K. J. , Brass, G. W. , Saltzman, E. S. and Sloan II, J. L. (1983) Continental hysography. Tectonics, v. 2. pp. 357–377. [CrossRefGoogle Scholar](#)
 - Hurtrez,J. E. , Sol. C. , Lucaeau, F. (1999) Effect of Drainage Area on Hypsometry from Analysis of Small Scale Drainage Basins in the Siwalik Hills (Central Nepal). *Earth Surface Processes and Landforms*, 24, 799-808.
- International Journal of Science and Research (IJSR),3:10, 1495-1500.
- Kanarek,M. (2012) Runoff and geomorphic properties of North Carolina rivers. CE394K. 3,1-13. : www. elsevier.com/locate/geomorph
 - Khadri, S. F. R. ,Nitin, R. Kokate. (2015) Hypsometric Analysis of the Morna River basin, Akola District, Maharashtra, International Journal on Recent and Innovation Trends in Computing and Communication , 3: 2 ,087– 092
 - Kuang-Yu ,Ch. , Jih-Hao ,H, Hung-Cheng,Ch. , Heng,T. , Quo-Cheng,S. (2012) Scale independence of basin hypsometry and steady state topography, Geomorphology journal, [Volumes 171–172](#),1-11.
 - Luo. W. (1998) Hypsometric Analysis with a Geographic Information System. 24,815-821.
 - Pérez-Peña,J. V. , Azafoon. J.M. , Azor. A. (2009). CalHypso: an ArcGIS extension to calculate hypsometric curves and their

- statistical moments. Applications to drainage basin analysis in SE Spain. *Computers and Geosciences* 35, 1214–1223.
- Pike, R. J. , Wilson, S. E. , (1971) Elevation-relief ratio, hypsometric integral, and geomorphic area-altitude analysis. *Geological Society of America Bulletin* 82,1079–1084.
 - Quanbari, H. , Pourkermani,M. , Asadi,A. ,Bouzari ,S. (2014) Hypsometric Properties of Marvdasht Plain Basins in SW Iran (South of Zagros Fold-Thrust Belt), *Current Trends in Technology and Science*, 3:2, 126-133.
 - Sagy, C. , Garry ,W. , Greg H. (2008) A methodology for calculating the spatial distribution of the area-slope equation and the hypsometric integral within a catchment, *Journal of Geophysical Research*, 113,1-13.
 - Siddiqui,S. , Solddati,M(2004) Appraisal of active tectonics using DEM-based hypsometric integral and trend surfaceanalysis in Emilia-Romagna Apennines, northern Italy, *Turkish Journal of Earth Sciences*, 23: 277-292.
 - Sivakumar,V. , Biju,C. , Benidhar, D. (2010) Hypsometric Analysis of Varattaru River Basin of Harur Taluk, *INTERNATIONAL JOURNAL OF Geomatics and Geosciences*, 2, 1:241-247.
 - Smgh,O. , Sarangi,A. (2008) Hypsometric analysis of the lesser Himalayan watersheds using geographical information system ,*Indian J* ,36 (3) : 148-154.
 - Strahler, A. N. (1957) Quantitative Analysis of Watershed Geomorphology. *Transactions, American Geophysical Union*,38, 913-920.
 - Strahler, AN. (1952). Hypsometric (area-altitude) analysis of erosional topography. *Geologic. Soc. Am. Bull. ,* 63: 1117-1141.
 - Willgoose,G. , Hancock,G. (1998). Revisiting the Hypsometric Curve as an Indicator of Form and Processin in Transport -Limited Catchment. *Earth Surface Processes and Landforms*, 23, 611–623.
 - Wilson, L. J, Vallee. ,M. , Montpetit ,J. (2009). Comments on hydrometeorological accuracy enhancement via postprocessing of numerical weather forecasts in complex terrain. *WeatherForecast* ,24: 892–894.

- Zamosteanu, A. , Alexandru,I. , Mindrescu ,M. (2015)Sensitivity of the hypsometric integral (HI) and its connections with lithology and neotectonics in the Rodna Mountains, Romanian Carpathians, University of Suceava and GEOREVIEW , 25,75-91.
- Zbigniew, Z. , Ewa, S. (2015) Spatial distribution of hypsometric curves within the Parsęta River drainage basin (Poland)as a geoindicator of geomorphological hazards. Institute Geoecology and Geoinformation Geomorphometry. org,27, 267-271.